

PLANEJAMENTO DE CAMINHOS

MÉTODOS BASEADOS CAMPOS DE POTENCIAL

Princípio:

- Considerar o robô, representado como um ponto no espaço de configuração, como uma partícula sob a influência de um campo de potencial artificial U , cujas variações locais refletem a estrutura do espaço livre.
- Tipicamente, a função de potencial é uma soma de potenciais repulsivos, (geralmente com influência local), que afastam o robô dos obstáculos e um potencial atrativo que empurra o robô em direção ao alvo.
- O planejamento é realizado iterativamente. A cada iteração, a força artificial $F(q) = -\nabla U(q)$ induzida por U na configuração q define a direção de movimento mais promissora e o incremento de posição nesta direção.

Características:

- Desenvolvido originalmente para contorno de obstáculos, aplicável quando não se dispõe de um modelo *a priori* dos mesmos, mas são percebidos *on-line*. \Rightarrow Método “Local”.
- Ênfase em eficiência em tempo real em detrimento da garantia de alcançar o alvo. \Rightarrow Método incompleto, (pode falhar na busca de um caminho, mesmo existindo um), mas de implementação simples; geralmente rápido, eficiente e confiável para a maioria das aplicações.
- Método de otimização baseado em gradiente (“Descida da Ladeira”). \Rightarrow Sujeito a problemas de mínimos locais da função de potencial, (o seu maior problema). Abordagens de solução:
 1. Definir a função de potencial de modo a ter um ou uns poucos mínimos locais. \Rightarrow tornar o método “Global”.
 2. Incluir técnicas para escapar dos mínimos locais.

Campo de Potencial – Caso Translacional:

- $\mathbf{W} = \mathbb{R}^n$ $C = \mathbb{R}^n$ ($n = 2$ ou 3).
- Função de Potencial: $U(q) = U_{\text{atr}}(q) + U_{\text{rep}}(q)$
 - $U_{\text{atr}}(q)$ = Função de potencial atrativo, associada ao alvo e independente da região de C-Obstáculos.
 - $U_{\text{rep}}(q)$ = Função de potencial repulsivo, associada à região de C-Obstáculos e independente do alvo.
- Força artificial: $F(q) = -\nabla U(q) = F_{\text{atr}}(q) + F_{\text{rep}}(q)$
 - $F_{\text{atr}}(q) = -\nabla U_{\text{atr}}(q)$ = Força atrativa (empurra em direção ao alvo).
 - $F_{\text{rep}}(q) = -\nabla U_{\text{rep}}(q)$ = Força repulsiva (afasta o robô dos obstáculos).
- Gradiente da função de potencial:
 - $\nabla U(q) = \partial U(q) / \partial q \Rightarrow$
 - $C = \mathbb{R}^2 \Rightarrow q = [x \ y]^T$
 $\Rightarrow \nabla U(q) = [\partial U / \partial x \ \partial U / \partial y]^T$.
 - $C = \mathbb{R}^3 \Rightarrow q = [x \ y \ z]^T$
 $\Rightarrow \nabla U(q) = [\partial U / \partial x \ \partial U / \partial y \ \partial U / \partial z]^T$.

Potencial Atrativo: (atrai o robô na direção do alvo):

- Potencial Parabolóide: $U_{\text{atr}}(q) = \xi \cdot [\rho_{\text{fin}}(q)]^2/2$

onde, $\rho_{\text{fin}}(q) = \|q - q_{\text{fin}}\| = \text{distância euclidiana ao alvo.}$
 $\xi = \text{fator de ganho positivo.}$

Obs.:

- $U_{\text{atr}}(q) \geq 0$, com mínimo em q_{fin} .
- $\rho_{\text{fin}}(q)$ diferenciável em $\forall q \in C$.

$$\begin{aligned} \text{Força atrativa: } F_{\text{atr}}(q) &= -\nabla U_{\text{atr}}(q) = -\xi \cdot [\rho_{\text{fin}}(q)] \cdot \nabla \rho_{\text{fin}}(q) \\ &= -\xi \cdot (q - q_{\text{fin}}). \end{aligned}$$

Obs.:

- $F_{\text{atr}}(q)$ converge linearmente para zero ao se aproximar da configuração alvo. $F_{\text{atr}}(q)$ tende a infinito para $\rho_{\text{fin}} \rightarrow \infty$.
- Estabilidade assintótica pode ser alcançada adicionando uma força dissipativa proporcional à velocidade dq/dt .

- Potencial Cônico: $U_{\text{atr}}(q) = \xi \cdot \rho_{\text{fin}}(q)$

Obs.:

- $U_{\text{atr}}(q) \geq 0$, com mínimo em q_{fin} .
- $\rho_{\text{fin}}(q)$ diferenciável em $\forall q \in C$, exceto em $q = q_{\text{fin}}$.

$$\text{Força atrativa: } F_{\text{atr}}(q) = -\xi \cdot \nabla \rho_{\text{fin}}(q) = -\xi \cdot (q - q_{\text{fin}})/\|q - q_{\text{fin}}\|$$

Obs.:

- $\|F_{\text{atr}}(q)\| = \text{constante em } \forall q \in C$, exceto em $q = q_{\text{fin}}$.
- $F_{\text{atr}}(q)$ não possui características estabilizantes, visto que não tende a zero quando $q \rightarrow q_{\text{fin}}$.
- Alternativa: mesclar perfil cônico (longe de q_{fin}) com perfil parabólico (nas vizinhanças de q_{fin}).

Potencial repulsivo: (barreira de potencial em torno de CB):

\Rightarrow É desejável que $U_{rep}(q)$ não afete o movimento do robô quando este estiver suficientemente longe dos obstáculos. Exemplo:

$$U_{rep}(q) = \begin{cases} (\eta/2) \cdot [(1/\rho(q)) - (1/\rho_0)]^2 & \text{se } \rho(q) \leq \rho_0 \\ 0 & \text{se } \rho(q) > \rho_0 \end{cases}$$

onde, η = fator de ganho positivo.

$\rho(q) = \min_{q' \in CB} \|q - q'\|$ = distância de q a CB.

ρ_0 = Distância de influência (parâmetro positivo).

Obs.:

- $U_{rep}(q)$ é positivo para $\rho(q) < \rho_0$, tendendo a infinito quando o robô se aproxima do obstáculo.
- $U_{rep}(q)$ é nulo quando o robô se afasta de CB mais longe do que ρ_0 .
- Se CB = região convexa com limites diferenciáveis por partes, então $\rho(q)$ é diferenciável para $\forall q \in C_L$. A força repulsiva é:

$$\mathbf{F}_{rep}(q) = -\nabla U_{rep}(q)$$

$$\mathbf{F}_{rep}(q) = \begin{cases} \eta \cdot [(1/\rho(q)) - (1/\rho_0)] \cdot (1/\rho(q))^2 \cdot \nabla \rho(q) & \text{se } \rho(q) \leq \rho_0 \\ 0 & \text{se } \rho(q) > \rho_0 \end{cases}$$

- Seja q_C tal que $\|q - q_C\| = \rho(q)$. O gradiente $\nabla \rho(q)$ é o vetor unitário apontando de q_C para q .
- Se CB é uma região não convexa, então $\rho(q)$ é diferenciável para $\forall q \in C_L$, exceto para os pontos para os quais existe mais de um q_C tal que $\|q - q_C\| = \rho(q)$ (pontos do diagrama de Voronoi). Nos dois lados do diagrama, $\mathbf{F}_{rep}(q)$ assume sentidos opostos. \Rightarrow O robô ficará oscilando entre estes dois lados.

Solução:

- Decompor CB em componentes convexas CB_k , $k = 1, \dots, r$, com uma função de potencial associada $U_k(q)$. O potencial repulsivo total é a soma dos potenciais gerados por cada componente convexa:

$$U_{rep}(q) = \sum U_k(q)$$

$$U_k(q) = \begin{cases} (\eta/2) \cdot [(1/\rho_k(q)) - (1/\rho_0)]^2 & \text{se } \rho_k(q) \leq \rho_0 \\ 0 & \text{se } \rho_k(q) > \rho_0 \end{cases}$$

onde $\rho_k(q)$ é a distância de q a CB_k . A força repulsiva correspondente a $U_{rep}(q)$ é dada por:

$$F_{rep}(q) = \sum F_k(q)$$

$$F_k(q) = -\nabla U_k(q)$$

Obs.:

- CB_k pode ser construída decompondo **A** e **B** em componentes convexas e computar o C-Obstáculo correspondente a cada par de componentes convexas de **A** e **B**.
- Decompor CB em componentes pequenas pode resultar numa força repulsiva que é muito maior do que a força do C-obstáculo maior equivalente. \Rightarrow Ponderar cada potencial $U_k(q)$ proporcionalmente ao tamanho da região CB_k .
- Diferentes ganhos η e distâncias de influência ρ_0 podem ser utilizados para diferentes componentes de CB. Exemplo: se q_{fin} está próxima de CB_k , é razoável diminuir ρ_0 a menos do que a distância de q_{fin} a CB_k , de modo a evitar que o potencial repulsivo $U_k(q_{fin})$ impeça que o robô atinja q_{fin} .

Campo de Potencial – Caso Geral:

- $\mathbf{W} = \mathbb{R}^n$ $C = \mathbb{R}^n \times \text{SO}(n)$ ($n = 2$ ou 3).

Dada uma métrica d em C ,

Potencial atrativo e Força atrativa:

$$\begin{aligned} U_{\text{atr}}(q) &= \xi \cdot [\rho_{\text{fin}}(q)]^2 / 2 \\ F_{\text{atr}}(q) &= -\nabla U_{\text{atr}}(q) = -\xi \cdot [\rho_{\text{fin}}(q)] \cdot \nabla \rho_{\text{fin}}(q) \end{aligned}$$

onde $\rho_{\text{fin}}(q) = d(q, q_{\text{fin}})$.

Potencial repulsivo e força repulsiva:

$$\begin{aligned} U_{\text{rep}}(q) &= \begin{cases} (\eta/2) \cdot [(1/\rho(q)) - (1/\rho_0)]^2 & \text{se } \rho(q) \leq \rho_0 \\ 0 & \text{se } \rho(q) > \rho_0 \end{cases} \\ F_{\text{rep}}(q) &= \begin{cases} \eta \cdot [(1/\rho(q)) - (1/\rho_0)] \cdot (1/\rho(q))^2 \cdot \nabla \rho(q) & \text{se } \rho(q) \leq \rho_0 \\ 0 & \text{se } \rho(q) > \rho_0 \end{cases} \end{aligned}$$

onde $\rho(q) = \min_{q' \in \text{CB}} \|q - q'\|$.

Problema:

- Para uma dada métrica d geralmente não há método eficiente e simples para computar $\rho(q)$ e seu gradiente $\nabla \rho(q)$.

Solução:

- Definir os potenciais atrativos e repulsivos em \mathbf{W} e combinar seus efeitos em vários pontos de \mathbf{A} .

Potencial Atrativo:

- Considerar N pontos de controle a_i , sujeitos ao campo de potencial atrativo, (com $i=1, \dots, N$ e $N = \text{dimensão de } \mathbf{W}$), selecionados em \mathbf{A} , e que determinam univocamente q de \mathbf{A} .
- Seja ξ um ganho positivo e P um ponto em \mathbf{W} . Para cada ponto a_i , definir uma função de potencial atrativo, $V_{\text{atr}}^i : \mathbf{W} \rightarrow \mathbb{R}$:

$$V_{\text{atr}}^i(P) = (\xi/2) \cdot \|P - a_i(q_{\text{fin}})\|^2$$

- Cada potencial V_{atr}^i induz um campo de forças em \mathbf{W} :

$$F_{\text{atr}}^i(q) = -\nabla V_{\text{atr}}^i(P) = -\xi \cdot (P - a_i(q_{\text{fin}}))$$

onde $P = a_i(q)$. Somente o ponto de controle $a_i(q)$ é sensível a ação desta força. A força atrativa total sobre o robô é:

$$F_{\text{atr}}(q) = \sum F_{\text{atr}}^i(q)$$

Seja $U_{\text{atr}}^i(q) = V_{\text{atr}}^i(a_i(q)) \Rightarrow F_{\text{atr}}^i(q) = -\nabla U_{\text{atr}}^i(q)$. Assim, o potencial atrativo em C e a força induzida correspondente são:

$$U_{\text{atr}}(q) = \sum V_{\text{atr}}^i(a_i(q))$$

$$F_{\text{atr}}(q) = -\nabla U_{\text{atr}}(q)$$

Obs.: Os vários pontos de controle competem para atingir suas respectivas posições alvo, o que pode produzir mínimos locais em regiões confinadas de \mathbf{W} . Solução: definir um ponto “líder” $a_1(q)$:

$$U_{\text{atr}}(q) = V_{\text{atr}}^1(a_1(q)) + \varepsilon \cdot \sum_{i>1} V_{\text{atr}}^i(a_i(q))$$

onde ε é um ganho positivo pequeno. a_1 é puxado fortemente pelo alvo. O potencial sobre os outros pontos contribui para alcançar a orientação alvo. U_{atr} é boa quando q_{fin} estiver longe de CB, mas pode levar a um mínimo local perto de q_{fin} para q_{fin} perto de CB.

Potencial Repulsivo:

- Definir uma função de potencial repulsivo, $V_{\text{rep}} : \mathbf{W} \rightarrow \mathbb{R}$:

$$V_{\text{rep}}(P) = \begin{cases} (\eta/2) \cdot [(1/\rho(P)) - (1/\rho_0)]^2 & \text{se } \rho(P) \leq \rho_0 \\ 0 & \text{se } \rho(P) > \rho_0 \end{cases}$$

onde η é um ganho positivo, $\rho(P)$ é a distância euclidiana do ponto P a \mathbf{B} e $\rho_0(P)$ é a distância de influência de \mathbf{B} .

- Sejam Q pontos de controle a_i , sujeitos ao campo de potencial repulsivo, (com $i=1, \dots, Q$), selecionados no limite de \mathbf{A} .
- Quando \mathbf{A} está na configuração q , V_{rep} exerce uma força repulsiva sobre o ponto $P = a_i(q)$:

$$\mathbf{F}_{\text{rep}}^i(q) = \begin{cases} \eta \cdot [(1/\rho(P)) - (1/\rho_0)] \cdot (1/\rho(P))^2 \cdot \nabla \rho(P) & \text{se } \rho(P) \leq \rho_0 \\ 0 & \text{se } \rho(q) > \rho_0 \end{cases}$$

- Se \mathbf{B} é uma região convexa com limite diferenciável por partes, ρ é diferenciável em todo C_L . Se \mathbf{B} é uma região não convexa, a mesma pode ser decomposta em componentes convexas às quais pode-se associar potenciais repulsivos separados.
- A força resultante sobre o robô é: $\mathbf{F}_{\text{rep}}(q) = \sum \mathbf{F}_{\text{rep}}^i(q)$

Seja $\mathbf{U}_{\text{rep}}^i(q) = V_{\text{rep}}^i(a_i(q)) \Rightarrow \mathbf{F}_{\text{rep}}^i(q) = -\nabla \mathbf{U}_{\text{rep}}^i(q)$. Assim, o potencial repulsivo em C e a força induzida correspondente são:

$$\mathbf{U}_{\text{rep}}(q) = \sum V_{\text{rep}}^i(a_i(q)) \quad \mathbf{F}_{\text{atr}}(q) = -\nabla \mathbf{U}_{\text{atr}}(q)$$

- Para assegurar que **A** não chegue perto de **B** sem ser repelido, pode-se combinar um pequeno número de pontos de controle fixos e um ponto de controle variável, dependente da configuração q .

- O ponto de controle variável é o ponto $a' \in \partial A$ que é mais próximo a **B** na configuração corrente, o qual é solução de:

$$\min_{b \in B} \|a'(q) - b\| = \min_{a \in A, b \in B} \|a(q) - b\|$$

- A força repulsiva aplicada sobre o ponto $P = a'$ é:

$$\mathbf{F}_{\text{rep}}^i(q) = \begin{cases} \eta \cdot [(1/\rho(P)) - (1/\rho_0)] \cdot (1/\rho(P))^2 \cdot \nabla \rho(P) & \text{se } \rho(P) \leq \rho_0 \\ 0 & \text{se } \rho(q) > \rho_0 \end{cases}$$

- Se **A** e **B** são polígonos convexos, o cálculo de $\min_{a \in A, b \in B} \|a(q) - b\|$ e do par de pontos que satisfazem esta distância mínima pode ser realizado em um tempo $O(n_A + n_B)$, onde n_A e n_B são o número de vértices de **A** e **B**.
- Se **A** e **B** são não convexos, podem ser decompostos em componentes convexas $\{A_k\}$ e $\{B_l\}$. Para cada par (A_k, B_l) pode-se definir um ponto de controle variável a_{kl}' no limite de A_k que seja o mais próximo de B_l .
- Todos os pontos de controle variável a_{kl}' estão sujeitos simultaneamente ao campo de potencial repulsivo.

Planejamento de Caminhos guiado por Potencial:

- Abordagem: considerar o robô no espaço de configuração como uma partícula de massa unitária movendo-se sob a influência de um campo de forças artificial $F = -\nabla U$.
- A cada configuração q , a força $F(q)$ determina a aceleração da partícula.
- Conhecendo a dinâmica de A e supondo potência de atuadores ilimitada, pode-se calcular os esforços a serem aplicados a cada instante pelos atuadores de modo que o robô se comporte efetivamente como uma partícula.
- Os esforços calculados são os comandos enviados aos servo controladores do robô.
- Abordagem aplicável para geração de caminhos *on-line*.
- Se um modelo dos obstáculos é conhecido *a priori*, a mesma abordagem pode ser utilizada para efetuar planejamento de caminhos *off-line*.

Planejamento em Profundidade (*Depth First*):

- Construir o caminho como um produto de segmentos de caminho sucessivos partindo da configuração inicial q_{ini} .
- Cada segmento é orientado na direção e sentido do negativo do gradiente da função de potencial calculado na configuração alcançada pelo segmento prévio.
- A amplitude do segmento é escolhida de modo a que este permaneça dentro do espaço de configuração livre.
- Sejam q_i e q_{i+1} as extremidades do i -ésimo segmento do caminho e $x_j(q_i)$ as coordenadas de q_i expressas numa carta (U, ϕ) , (com $j = 1, \dots, m$). A força artificial expressa na base β induzida pela carta no espaço tangente $T_q(C)$ é dada por:

$$[F]_\beta = -[\nabla U]_\beta = [-\partial U / \partial x_1 \dots -\partial U / \partial x_m]^T$$

- Denominando $t_j(q_i)$ = componente j do vetor unitário $t(q_i) = F(q_i) / \|F(q_i)\|$ em β , as coordenadas da configuração q_{i+1} são obtidas na iteração i por:

$$x_j(q_{i+1}) = x_j(q_i) + \delta_i \cdot t_j(q_i), \quad j = 1, \dots, m.$$

onde δ_i é o comprimento do i -ésimo incremento medido de acordo com a métrica euclidiana de \mathbb{R}^m .

- O segmento $q_i q_{i+1}$ é a imagem inversa em C do segmento de reta entre $\phi(q_i)$ e $\phi(q_{i+1})$ em \mathbb{R}^m .

Exemplo:

- \mathbf{A} = robô planar movendo-se em \mathbb{R}^2 .
- Parametrização: $q = (x, y, \theta) \in \mathbb{R}^2 \times [0, 2\pi)$.

$$x(q_{i+1}) = x(q_i) + \delta_i \cdot [\partial U(x, y, \theta) / \partial x]$$

$$y(q_{i+1}) = y(q_i) + \delta_i \cdot [\partial U(x, y, \theta) / \partial y]$$

$$\theta(q_{i+1}) = \theta(q_i) + \delta_i \cdot [\partial U(x, y, \theta) / \partial \theta] \quad \text{mod } 2\pi$$

- Pode-se normalizar os deslocamentos ao longo do eixo θ em relação aos deslocamentos ao longo dos eixos x e y , parametrizando $q = (x, y, \phi) \in \mathbb{R}^2 \times [0, 2\pi \cdot R)$, impondo $\phi = \theta \cdot R$, onde $R = \max_{a \in \partial \mathbf{A}} \|O_A - a\|$ = máxima distância entre a origem O_A e o limite do robô $\partial \mathbf{A}$:

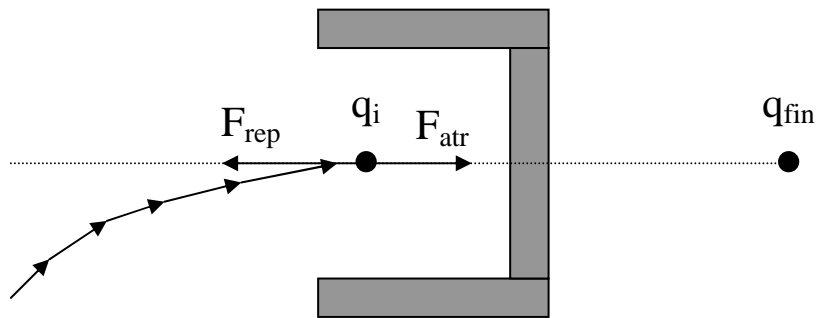
$$\phi(q_{i+1}) = \phi(q_i) + \delta_i \cdot [\partial U(x, y, \phi) / \partial \phi] \quad \text{mod } 2\pi \cdot R$$

ou, de modo equivalente,

$$\theta(q_{i+1}) = \theta(q_i) + (\delta_i / R) \cdot [\partial U(x, y, \theta R) / \partial \theta] \quad \text{mod } 2\pi$$

- Tipicamente, δ_i é pré-especificado como um valor δ suficientemente pequeno.
- δ_i deve ser escolhido pequeno o suficiente de modo que a direção da força e o seu mapeamento no sistema de coordenadas local mantenha seu significado ao longo do segmento $q_i q_{i+1}$.
- δ_i deve ser escolhido pequeno o suficiente de modo que não aconteça nenhuma colisão ao longo do segmento $q_i q_{i+1}$.

- Seja L o limite superior para o deslocamento máximo de um ponto de **A** durante o movimento de q_i para q_{i+1} de comprimento δ , se L for menor do que a menor distância entre **A** e **B**, então é garantido que o segmento $q_i q_{i+1} \subset C_L$. Caso contrário, pode-se escolher $\delta_i = \delta/2$. Proceder iterativamente até garantir caminho livre entre q_i e q_{i+1} .
- O incremento δ_i não deve passar além de q_{fin} . Escolher δ_i menor do que a distância euclidiana entre $\phi(q_i)$ e $\phi(q_{fin})$, onde ϕ é o mapeamento que define a carta (U, ϕ) adotada.
- Devido ao movimento ser feito em incrementos discretos δ_i , ao atingir um mínimo local, o robô permanece oscilando em torno do mesmo.



Procedimento:

- Detectar a situação de mínimo local checando sucessivas configurações e verificando se elas não estão "muito próximas" e se aconteceram "retrocessos".
- Escapar do mínimo local. Um método simples consiste em movimentar-se durante um certo tempo ao longo de uma direção pré-especificada, (exemplo: tangente à superfície equipotencial, para contornar os obstáculos). Retomar posteriormente o planejamento em profundidade.

Planejamento Melhor Primeiro:

- Decompor o espaço de configuração numa grade regular fina m -dimensional, GR, através da discretização dos m eixos de coordenadas de C .

Exemplo: se \mathbf{A} = objeto em voo livre em $\mathbb{R}^2 \Rightarrow$ GR é formada pelas configurações $(k_x \cdot \delta x, k_y \cdot \delta y, k_\theta \cdot \delta \theta)$, com $k_x, k_y, k_\theta \in \mathbb{Z}$, aplicando aritmética módulo 2π em θ . O incremento angular $\delta \theta$ é uma fração inteira de 2π .

- Configurações p -vizinhas da configuração $q \in GR$ são todas aquelas em GR tendo até p , ($1 \leq p \leq m$), coordenadas que diferem exatamente um incremento (em valor absoluto) das coordenadas correspondentes de q .
- Existem $2m$ 1-vizinhas, $2m^2$ 2-vizinhas, ..., $3^m - 1$ m -vizinhas.

Pressupostos:

- q_{ini} e q_{fin} são configurações em GR.
- Se duas configurações vizinhas em GR estão em C_L , o segmento de reta que as conecta em \mathbb{R}^m também está em C_L .
- GR é um retangulóide que limita as possíveis posições de \mathbf{A} .
- O método de Planejamento Melhor Primeiro (PMP) constrói iterativamente uma árvore T cujos nós são configurações em GR e sua raiz é q_{ini} .
- A cada iteração examina-se as vizinhas da folha de T que tem o menor potencial, são retidas as vizinhas que ainda não estiverem na árvore cujo potencial for menor que um limiar M grande e as instala em T como sucessoras da folha corrente.
- O algoritmo termina quando se atinge q_{fin} (sucesso), ou quando o subconjunto livre de GR acessível a partir de q_{ini} tiver sido completamente explorado (falha).
- Cada nó possui um ponteiro para o seu nó pai. Ao atingir q_{fin} , o caminho é gerado traçando os ponteiros de q_{fin} até q_{ini} .

Estruturas de dados e operações utilizadas no algoritmo PMP:

- T = árvore de busca.
- $ABERTA$ = lista que contém as folhas de T ordenadas por valores crescentes da função de potencial.
- $PRIMEIRO(ABERTA)$ = remove e retorna a configuração de $ABERTA$ com menor potencial.
- $INSERIR(q, ABERTA)$ = insere q em $ABERTA$.
- $VAZIA(ABERTA)$ = retorna **Verdadeiro** se a lista $ABERTA$ é vazia ou **Falso**, caso a lista não for vazia.

procedimento PMP

começar

instalar q_{ini} em T ; /* inicialmente T é uma árvore vazia */
 $INSERIR(q_{ini}, ABERTA)$; marcar q_{ini} como **Visitada**;
/* inicialmente todas as configurações em GR são marcadas como **Não Visitada** */

$SUCESSO \leftarrow$ **Falso**;

enquanto $\neg VAZIA(ABERTA)$ e $\neg SUCESSO$ **faça**

começar

$q \leftarrow PRIMEIRO(ABERTA)$;

para cada vizinha q' de q em GR **faça**

se $U(q') < M$ e q' é **Não Visitada**, **então**

começar

instalar q' em T com um ponteiro para q ;

$INSERIR(q', ABERTA)$;

marcar q' como **Visitada**;

se $q' = q_{fin}$, **então** $SUCESSO \leftarrow$ **Verdadeiro**;

fim;

fim;

se $SUCESSO$, **então**

retornar o caminho gerado traçando os ponteiros em T

de q_{fin} até q_{ini} ;

se não, retornar falha;

fim;

Observações:

- PMP segue uma aproximação discreta do negativo do gradiente da função de potencial $U(q)$ até atingir um mínimo local.
 - ⇒ Ao atingir o mínimo local, o algoritmo opera de modo a “preencher” o “vale” que contém o mínimo, deixando-o plano.
 - ⇒ A partir do “vale” “preenchido”, o algoritmo PMP segue novamente $-\nabla U(q)$, descendo uma nova “ladeira” de potencial em direção a um novo mínimo (local ou global).
 - ⇒ É garantido encontrar um caminho livre sempre que este existir dentro do subconjunto livre da grade GR. Caso contrário, uma falha será reportada.
- A complexidade computacional do algoritmo PMP é de ordem $O(m \cdot r^m \cdot \log(r))$, onde r = número de pontos de discretização ao longo de cada eixo de coordenadas do espaço de configuração.
- A maior parte do tempo, PMP explora somente um pequeno subconjunto de GR.
 - ⇒ Em lugar de representar GR explicitamente como um grande arranjo m -dimensional, pode-se representar apenas as configurações instaladas em T.
 - ⇒ Em lugar de testar se uma configuração é Visitada ou não, checa-se se ela está em T ou não.
 - ⇒ Economiza-se um grande espaço de memória, (às custas de uma ligeira perda de eficiência devido à necessidade adicional de checar se a configuração está em T).
 - ⇒ Torna-se possível trabalhar com grade de tamanho ilimitado, (sujeito às limitações de tempo de computação).
- PMP é prático quando $m < 5$. Exemplo: para $m = 3$, com $q=(x,y,\theta)$, PMP é extremamente rápido e confiável com resoluções da grade GR da ordem de 256^3 .
 - ⇒ Pode-se acelerar o algoritmo usando pirâmides de grades de várias resoluções.
- Para $m > 5$, o “preenchimento” de vales com mínimos locais se torna intratável, pois o número de configurações discretas em um vale tende a crescer exponencialmente com m .

Outras Funções de Potencial:

Objetivos:

- 1) Melhorar o comportamento dinâmico local ao longo dos caminhos gerados.
 - Importante quando o caminho é gerado *on-line*, como no algoritmo “Fundo Primeiro”.
 - Exemplo: Campo de Potencial Generalizado, função da configuração e da velocidade. \Rightarrow O robô só é repellido se estiver perto de um obstáculo e movendo-se na sua direção.
 - Sujeito a maiores problemas com mínimos locais.
- 2) Reduzir o número de mínimos locais e/ou o tamanho dos “vales” associados aos mesmos.
 - Mínimos locais são o maior problema dos métodos baseados em potencial.
 - O tipo da função de potencial não é imposta na formulação original do método.
 - Questão: é possível construir uma função $U : C_L \rightarrow \mathbb{R}$ com um mínimo em q_{ini} cujo domínio de atração seja a totalidade do subconjunto de C_L conexo a q_{fin} ?
 - Se existir, esta função é chamada Função de Navegação Global. \Rightarrow Com base nesta função, o método “Fundo Primeiro” garante encontrar um caminho entre q_{ini} e q_{fin} , quando este existir.
 - A Função de Navegação Global não existe no caso geral, entretanto, não há restrições à existência de uma função de potencial (Função de Navegação) com um mínimo em q_{fin} cujo domínio de atração inclua a totalidade do subconjunto de C_L conexo a q_{fin} , exceto um número finito de pontos de sela da função de potencial (pontos de equilíbrio instável).
 - A Função de Navegação em forma analítica pode ser obtida para casos particulares. Para uma representação discreta de C_L , este problema é muito mais simples.

Função de Navegação Manhattan:

- Discretizar C numa grade retangulóide GR .
- Cada configuração q em GR é rotulada “0” se $q \in C_L$ e “1” caso contrário. $\Rightarrow GR_L = \{q \in GR / q = \text{“0”}\}$.
- Assume-se que q_{ini} e q_{fin} pertencem a GR_L .
- Função de Navegação Manhattan = distância L^1 a q_{fin} .
- Computada facilmente usando uma “expansão de frente de onda” a partir de q_{fin} :
 - $U(q_{fin})$ é fixado em 0.
 - O potencial de cada 1-vizinha de q_{fin} é fixado em 2.
 - O procedimento prossegue iterativamente incrementando em 1 o potencial das configurações 1-vizinhas à configuração atual em GR_L , cujo potencial não tenha ainda sido computado.
 - Terminar quando o subconjunto de GR_L acessível a partir de q_{fin} tenha sido explorado completamente.

Observações:

- A função de navegação gera potenciais em GR_L com um único mínimo em q_{fin} .
- Pode-se usar o algoritmo de navegação “Fundo Primeiro” para buscar um caminho entre q_{ini} e q_{fin} em GR_L .
- É garantido encontrar um caminho entre q_{ini} e q_{fin} caso este exista em GR_L .
- O caminho gerado em GR_L entre q_{ini} e q_{fin} é de comprimento mínimo (de acordo com a métrica L^1).
- O algoritmo calcula $U(q)$ somente no subconjunto de GR_L conexo a q_{fin} .
- Se $U(q_{ini})$ não foi computado, pode-se concluir imediatamente que não existe um caminho entre q_{ini} e q_{fin} em GR_L .

- A complexidade computacional do algoritmo é linear no número de configurações em GR e independente do número e forma dos C-Obstáculos.
- O algoritmo é eficiente para um espaço de configuração de dimensão baixa ($m = 2$ ou 3), tornando-se impraticável para dimensões maiores.

procedimento Manhattan

começar

para cada $q \in GR_L$ **faça** $U(q) \leftarrow M$; /* $M = N^0$ grande */

$U(q_{fin}) \leftarrow 0$; inserir q_{fin} em L_0 ;

/* L_i = lista de configurações, inicialmente vazia ($i=0,1,\dots$) */

para $i = 1, 2, \dots$, **até** $L_i =$ vazia, **faça**

para cada q em L_i , **faça**

para cada q' 1-vizinha de q em GR_L , **faça**

se $U(q') = M$, **então**

começar

$U(q') \leftarrow i+1$;

inserir q' no fim de L_{i+1} ;

fim

fim

Exemplo:

2	1	2	3	4	5		
1	q_{fin}	1	2	3	4		
2	1	2	3	4	5		
3	2			5	6		
4	3			6	7	8	q_{ini}
5	4			7	8	9	10
6	5	6	7	8	9	10	11
7	6	7	8	9	10	11	12

Função de Navegação baseada em Esqueleto:

Princípio:

1. Extrair um subconjunto $(m-1)$ -dimensional S (Esqueleto) de GR_L .
2. Calcular a função de potencial U em S .
3. Computar a função de potencial no resto de GR_L .

1. Cômputo do esqueleto:

- Computar a distância L^1 (Manhattan) $d_1(q)$ de cada configuração $q \in GR_L$ à região de C-Obstáculos CB através de um algoritmo de expansão de frente de onda partindo de ∂CB .
- O subconjunto S (Esqueleto) é computado de forma concorrente com a construção do mapa d_1 .
- O esqueleto é construído como o conjunto de configurações onde as ondas emitidas a partir do limite de CB se encontram.
- Para conseguir isto, propaga-se não só os valores de d_1 em q , mas os pontos do limite de GR_L , $O(q)$, que os originaram.
- Seja $q' \in GR_L$, uma configuração 1-vizinha de q . Se a distância L^1 , $D_1(O(q), O(q'))$ for maior do que um limiar α , duas ondas se encontram em q . \Rightarrow Incluir q em S .
- O esqueleto computado desta maneira é um tipo de Diagrama de Voronoi para a distância L^1 .
- O esqueleto computado desta maneira é semelhante ao “esqueleto” extraído de uma região em uma imagem digitalizada usando técnicas de morfologia matemática.

Seja:

- L_i = lista de configurações (inicialmente vazia) correspondentes a uma mesma frente de onda (mesma distância $L^1 = i$, com $i = 0, 1, \dots$).
- $\text{INSERIR}(q, L_i)$ = insere a configuração q no final da lista L_i .
- S = Lista que armazena as configurações do esqueleto.
- $\text{INSERIR}(q, S)$ = insere a configuração q no final da lista S .

procedimento ESQUELETO

começar

para cada $q \in \text{GR}_L$, **faça** $U(q) \leftarrow M$ /* $M = N^0$ grande */

para cada $q \in \text{GR} \setminus \text{GR}_L$, **faça** /* inicializar borda */

se $\exists q'$ 1-vizinha de q e $q' \in \text{GR}_L$, **então**

começar

$d_1(q) \leftarrow 0$; $O(q) \leftarrow q$;

$\text{INSERIR}(q, L_0)$;

fim;

para $i = 0, 1, \dots$, **até** L_i = lista vazia, **faça**

para cada $q \in L_i$, **faça** /* propagação da onda */

para cada $q' \in \text{GR}_L$ 1-vizinha de q , **faça**

se $d_1(q) = M$, **então**

começar

$d_1(q') \leftarrow i+1$; $O(q') \leftarrow O(q)$;

$\text{INSERIR}(q', L_{i+1})$;

fim;

se não, **se** $D_1(O(q), O(q')) > \alpha$, **então**

/* α inteiro tipicamente entre 2 e 6 */

se $q \notin S$, **então** $\text{INSERIR}(q', S)$;

/* Evita gerar esqueleto de largura
igual a duas configurações */

fim;

2. Cálculo da função de potencial U em S :

- Primeiro, q_{fin} é conectada a S por um caminho σ seguindo a “subida da ladeira” do mapa d_1 em GR_L .
- O caminho σ é incluído em S .
- Estabelece-se $U(q_{\text{fin}}) = 0$.
- U é computada em S através de um algoritmo de expansão de frente de onda restrita a S , partindo de q_{fin} .
- O algoritmo usa o mapa d_1 computado previamente para guiar a expansão.

Seja:

- Q = lista de configurações em S ordenada por valores decrescentes de d_1 .
 - $\text{INSERIR}(q, Q)$ insere a configuração q na lista Q .
 - $\text{PRIMEIRA}(Q)$ remove e retorna a 1ª configuração de Q .
 - $\text{VAZIA}(Q) = \text{Verdadeiro}$ se $Q = \{\emptyset\}$, Falso caso contrário.
 - L_i = lista de configurações inicialmente vazia, com $i=1, 2, \dots$
 - $\text{INSERIR}(q, L_i)$ insere a configuração q no final da lista L_i .
 - σ = lista de configurações inicialmente vazia.
 - $\text{INSERIR}(q, \sigma)$ insere a configuração q no final da lista σ .
-
- q_{fin} é inserida em Q .
 - Até que Q esteja vazia, a primeira configuração q de Q é removida.
 - Cada configuração q' m -vizinha de q em S cujo potencial não tenha sido computado recebe um potencial $U(q') = U(q) + 1$ e é inserida em Q .
 - O algoritmo termina quando Q ficar vazia (ou seja, quando todas as configurações em S acessíveis a partir de q_{fin} tenham seu potencial calculado).
 - A saída do algoritmo é a lista L_0 contendo todas as configurações de S acessíveis a partir de q_{fin} .

procedimento U_ESQUELETO

começar

/* Conexão de q_{fin} a S */

para cada $q \in GR_L$, **faça** $U(q) \leftarrow M$ /* $M = N^0$ grande */

INSERIR(q_{fin}, σ); $q \leftarrow q_{fin}$;

enquanto $q \notin S$, **faça**

começar

selecionar uma vizinha de q' com o maior valor de d_1 ;

INSERIR(q', σ); $q \leftarrow q'$;

fim;

$S \leftarrow \sigma \cup S$;

/* Cálculo de $U(q)$ em S */

$U(q_{fin}) \leftarrow 0$; INSERIR(q_{fin}, Q);

enquanto $\neg VAZIA(Q)$, **faça**

começar

$q \leftarrow PRIMEIRA(Q)$;

INSERIR(q, L_0);

para cada q' m-vizinha de q em S , **faça**

se $U(q') = M$, **então**

começar

$U(q') \leftarrow U(q) + 1$;

INSERIR(q', Q);

fim;

fim;

/* no fim deste laço, L_0 contém todas as configurações em S acessíveis a partir de q_{fin} . */

fim;

3. Cômputo a função de potencial no resto de GR_L :

- O potencial U no resto de GR_L acessível a partir de q_{fin} é computado através de um algoritmo de expansão de frente de onda partindo das configurações em L_0 .
- O potencial de cada configuração q' 1-vizinha de cada configuração q em L_0 é estabelecido como $U(q') = U(q) + 1$.
- O potencial de cada configuração q'' 1-vizinha de cada configuração q' cujo potencial já tenha sido calculado é estabelecido como $U(q'') = U(q') + 1$.
- O procedimento é repetido iterativamente para todas as configurações de GR_L acessíveis a partir de q_{fin} .

procedimento U_{GRL}

começar

para $i = 0, 1, \dots$, **até** L_i ser vazia, **faça**

para cada q em L_i , **faça**

para cada q' vizinha de q em GR_L , **faça**

se $U(q') = M$, **então** /* $M = N^0$ grande */

começar

$U(q') \leftarrow U(q) + 1$;

 INSERIR(q', L_{i+1});

fim;

fim;

- A função de potencial gerada em GR_L contém apenas um mínimo em q_{fin} .
- Aplicando o algoritmo de busca em profundidade a partir de q_{ini} , é gerado um caminho que:
 1. Conecta q_{ini} a S .
 2. Segue a curva S , (o mais distante dos C-obstáculos).
 3. Conecta S a q_{fin} .
- A complexidade computacional do algoritmo é de ordem $O(n + n^{(m+1)/m} \cdot \log(n))$, onde $n = N^0$ de configurações em GR .

Aplicação em espaços de maior dimensão:

- As funções de navegação Manhattan e Esqueleto, embora de aplicação geral, na prática só são eficientes para espaços de configuração de pequena dimensão ($m = 2$ ou 3).
- O tamanho da grade cresce exponencialmente com m .
- Solução: computar potenciais em espaço de trabalho associados a pontos de controle no robô e combiná-los para produzir um potencial de espaço de configuração.

Considerações iniciais:

- Define-se uma grade regular GW de pontos no espaço W construída discretizando os eixos do referencial F_W .
- O incremento δ ao longo dos eixos de F_W deve ser igual ao incremento Δ ao longo dos eixos de translação em GR.
- Assunção: GW é limitada e forma um retangulóide.
- Cada ponto P de GW é rotulado “1” se $P \in B$ e “0” se $P \notin B$.
- $GW_L = \{P / P \in GW \text{ e } P \text{ é rotulado “0”}\}$.
- Sejam a_i (com $i = 1, \dots, Q$) pontos de controle em A.
- V_i é a função de potencial associada a a_i , definida sobre GW_L .
- V_i é computada usando a função Manhattan ou Esqueleto, substituindo GR por GW, GR_L por GW_L , q_{fin} por $a_i(q_{fin})$, q por P e q' por P'.
- Para calcular $U(q)$, determina-se a posição de cada $a_i(q)$. O valor V_i é calculado considerando o ponto $P_i \in GW$ mais próximo a a_i . A partir dos V_i 's, a função de potencial $U(q)$ na configuração $q \in GR_L$ é calculada através de uma “Função de Arbitragem”, G:

$$U(q) = G(V_1(a_1(q)), \dots, V_Q(a_Q(q)))$$

- Se $Q < N$, existem múltiplas configurações finais, se $Q = N$, usualmente q_{fin} é unicamente definida.
- $U(q)$ não precisa ser computada em cada $q \in GR$, mas apenas no pequeno subconjunto de GR onde o planejador precisa conhecer o valor do potencial.
- $U(q) \geq 0$ no espaço livre, com $U(q_{fin}) = 0$.
- $U(q)$ construída a partir de potenciais na grade GW evita computar potenciais sobre a grade GR (bem maior).
- O espaço W é usado como inspiração para obter uma “boa” função de potencial (através da combinação dos V_i ’s).
- Em geral, a função “Esqueleto” fornece potenciais V_i ’s que são “melhor” combinados do que aqueles produzidos pela função “Manhattan”, pois “aumenta” o espaço de manobra do robô.
- Pode-se facilmente construir uma função $U(q)$ que evite que o robô fique preso em “concavidades” formadas por obstáculos.
- Por outro lado, a combinação dos V_i ’s produz mínimos locais devidos à competição entre os vários a_i ’s para atingir suas posições finais. \Rightarrow É necessária uma Função de Arbitragem.

- a) Função de Arbitragem: $U(q) = \sum V_i(a_i(q))$
 - Esta escolha não favorece nenhum ponto de controle, tende a aumentar o número de conflitos e produz muitos mínimos locais.
- b) Função de Arbitragem: $U(q) = \min V_i(a_i(q)) + \epsilon \cdot \max V_i(a_i(q))$
 - ϵ é uma constante pequena (tipicamente, $\epsilon = 0.1$).
 - O primeiro termo favorece a atração do ponto que está mais próximo do objetivo. O segundo termo faz o robô girar (menos intensamente) em direção à orientação final.
 - Tende a gerar menos mínimos do que a função a).
 - Cria mínimo fundo quando não há espaço de manobra.
- c) Função de Arbitragem: $U(q) = \max V_i(a_i(q))$
 - Tende a aumentar o número de competições entre pontos de controle (mais mínimos locais).
 - Tende a reduzir o domínio de atração dos mínimos.

Planejamento Probabilístico:

Princípio:

- O Planejador de Caminhos Probabilístico (PCP) constrói e pesquisa um grafo G cujos nós são os mínimos locais da função de potencial $U(q)$, os quais são conectados por um arco se o planejador tiver gerado um caminho entre eles.
- O método não requer função de potencial específica. Assume-se que $U(q) \geq 0$ é uma grade retangulóide GR com incrementos Δ_i ao longo dos eixos x_i e com mínimo global $U(q_{ini}) = 0$.
- O planejador parte de q_{ini} executando movimentos de acordo com a técnica “**Melhor Primeiro**” até alcançar um mínimo local, q_{loc} . Se $U(q_{loc}) = 0$, sucesso.
- Ao atingir um dado mínimo local q_{loc} , PCP procura escapar do mesmo através de movimentos Aleatórios.
- Cada movimento aleatório é seguido por um movimento “melhor primeiro” que leva a um mínimo local. Se este é diferente de q_{loc} , é inserido no grafo G como sucessor de q_{loc} .
- Portanto, dois nós adjacentes no grafo G são conexos por um caminho composto por um trecho “melhor primeiro” seguido por um trecho “aleatório”.
- O grafo G é construído incrementalmente até encontrar a configuração q_{fin} ou até atingir um critério de parada.
- Após encontrar um caminho, o mesmo deve ser transformado num caminho suave.

Movimento “Melhor Primeiro”:

- O planejador opera sobre a grade do espaço de configuração GR na qual $U(q)$ é definida.
- A partir da configuração atual, o robô deve ser movimentado para a melhor configuração vizinha (aquela com menor $U(q)$).
- O planejamento prossegue iterativamente até atingir um mínimo local q_{loc} , cujas vizinhas possuem todas $U(q) > U(q_{loc})$.
- Se o método de cálculo de potencial não garantir que $U(q)$ tenda a infinito no limite de CB, antes de escolher uma configuração como sucessora da configuração atual, deve-se verificar se a mesma está em C_L .

Movimento Aleatório:

- Movimentos aleatórios partem de um mínimo local q_{loc} .
- Consistem de uma série de t passos tais que a projeção de cada passo ao longo dos eixos x_i , ($i = 1, \dots, m$), é escolhida aleatoriamente Δ_i ou $-\Delta_i$.
- Cada passo é escolhido independente dos anteriores.
- Este caminho converge para um movimento browniano quando cada Δ_i tende a zero.
- Assumindo, sem perda de generalidade, que q_{loc} está na origem do sistema de coordenadas, a configuração atingida após t passos é uma variável aleatória $Q(t) = (Q_1(t), \dots, Q_m(t))$ que satisfaz as duas propriedades seguintes:
 - Densidade de $Q_i(t)$: $p_i(q_i) = [\exp(-q_i^2/(2\Delta_i^2 \cdot t))]/[\Delta_i(2\pi \cdot t)^{1/2}]$
 - Desvio Padrão de $Q_i(t)$: $D_i = \Delta_i \cdot (t)^{1/2}$
- Um passo aleatório pode levar a colisão com CB. Deve-se checar se a configuração gerada está em C_L , caso contrário, o planejador deve selecionar um novo passo aleatório.

- A duração t do caminho deve ser escolhida com cuidado. Se for muito pequena, o robô tem pouca probabilidade de escapar do mínimo. Se for muito grande, o planejador desperdiçará tempo em que poderia navegar por “melhor primeiro”.
- Define-se **Raio de Atração**, $R_i(q_{loc})$ de qualquer mínimo local q_{loc} como a distância de q_{loc} ao ponto de sela mais próximo na direção x_i . $\Rightarrow R_i(q_{loc})$ é a mínima distância que o robô deve andar para escapar do mínimo local q_{loc} .
- Se for possível estimar a estatística de R_i , de $D_i = \Delta_i \cdot (t)^{1/2}$ pode-se fazer uma estimativa boa da duração t do caminho aleatório:

$$t = \max_{i \in [1, m]} [R_i(q)/\Delta_i]^2$$

- Entretanto, como não se faz nenhuma assunção a respeito da distribuição dos obstáculos, nenhuma estatística forte pode ser inferida a respeito de $U(q)$ e dos R_i 's.
- Como qualquer modificação na configuração do robô não deverá causar que qualquer ponto de A se mova mais do que o comprimento L dos lados de GW , pode-se estimar $t = L/\delta^2$, onde δ é o incremento ao longo dos eixos de GW . \Rightarrow Esta estimativa assume implicitamente que todos os R_i 's são iguais.
- Outra possibilidade é considerar que R_i é uma variável aleatória com distribuição de Laplace e com valor esperado L . Neste caso, t é escolhido como uma variável aleatória T com a seguinte densidade de probabilidade:

$$p(t) = \delta \cdot [\exp(-\delta(L \cdot t)^{1/2})] / [2(L \cdot t)^{1/2}]$$

- Neste caso, o valor esperado de t é: $T = L/\delta^2$ (maior duração do caminho aleatório).
- A cada passo, o planejador checa $U(q)$ em relação a $U(q_{loc})$. Se for menor, o planejador termina o caminho aleatório.

Busca no Grafo:

- O Grafo G é construído incrementalmente, a partir das combinações de movimentos "Melhor Primeiro" e Aleatório.
- 1ª Estratégia de busca "Melhor Primeiro":
 - Gerar iterativamente sucessores do mínimo local de menor potencial.
 - Limitar em um máximo K predefinido, o número de movimentos aleatórios gerados a partir de um mesmo mínimo local.
 - Problema: o mesmo mínimo pode ser alcançado várias vezes, o que é difícil e custoso de detectar.
 - Problema: a estratégia pode desperdiçar muito tempo explorando grandes domínios de atração de mínimos locais que contenham dentro deles pequenos mínimos locais imbricados.
- 2ª Estratégia de busca:
 - A partir de um mínimo local q_{loc} , gerar até um máximo de K movimentos aleatórios.
 - Cada movimento aleatório é seguido imediatamente por um movimento "melhor primeiro", atingindo um mínimo local q'_{loc} .
 - Se $U(q'_{loc}) > U(q_{loc})$, esquecer q'_{loc} . Caso contrário (e se $q'_{loc} \neq q_{fin}$), gerar o sucessor de q'_{loc} da mesma maneira.
 - Se nenhum dos K movimentos aleatórios a partir de q_{loc} consegue atingir um mínimo com potencial menor do que q_{loc} , considerar q_{loc} um beco sem saída e retomar a busca a partir do mínimo considerado mais recentemente cujos K sucessores não tenham sido todos gerados.
 - Problema: apesar de apresentar bons resultados, também pode despende muito tempo com mínimos imbricados.
 - Problema: se um mínimo local baixo foi alcançado, pode ser bastante difícil alcançar um outro mínimo menor.

- 3ª Estratégia de busca:
 - Modificação da 2ª Estratégia.
 - Em lugar de armazenar o grafo G completo, memorizar apenas o caminho gerado τ conectando q_{ini} à configuração atual q .
 - A cada mínimo local, gerar até um máximo de K (tipicamente, $K \cong 20$) movimentos aleatórios/"melhor primeiro".
 - Se um destes movimentos atingir um mínimo q'_{loc} mais baixo, inserir o caminho entre q_{loc} e q'_{loc} no final do caminho τ corrente, continuando a busca a partir de q'_{loc} .
 - Caso contrário, selecionar aleatoriamente, (de acordo com uma distribuição normal), uma configuração de retrocesso $q_{trás}$ no subconjunto de τ corrente formado por movimentos aleatórios.
 - A busca é retomada, a partir de $q_{trás}$, usando um movimento "melhor primeiro". Como $q_{trás}$ foi gerada por movimento aleatório, esta nova busca pode levar a um mínimo inexplorado.
 - Observação: se o primeiro mínimo local q_{loc} for um beco sem saída, este mecanismo de retrocesso não pode ser aplicado.
 - \Rightarrow Selecionar aleatoriamente um dos mínimos locais q'_{loc} atingidos a partir de q_{loc} e retomar a busca em movimento "melhor primeiro" a partir de uma configuração selecionada aleatoriamente no caminho aleatório que leva a q'_{loc} .

Estruturas de dados e comandos utilizados no Algoritmo de Planejamento de Caminhos Probabilístico:

- τ = lista de configurações representando o caminho gerado.
- $ULT(\tau)$ retorna a última configuração de τ .
- $PROD(\tau_1, \tau_2)$ retorna o produto dos caminhos $\tau_1 \bullet \tau_2$.
- $MELHORPR(q)$ retorna o caminho gerado a partir de q através de um movimento "melhor primeiro".
- $RAND(q, t)$ retorna o caminho gerado a partir de q através de um movimento aleatório de duração t .
- $RAND_T$ retorna um intervalo de tempo aleatório computado de acordo com a distribuição:

$$p(t) = \delta \cdot [\exp(-\delta(L \cdot t)^{1/2})] / [2(L \cdot t)^{1/2}]$$

- $VOLTA(\tau, \tau_1, \dots, \tau_K)$ seleciona uma configuração de retrocesso $q_{trás}$ e retorna o caminho de q_{ini} a $q_{trás}$; se τ inclui um subcaminho gerado por movimento aleatório, o caminho retornado é um subcaminho de τ ; caso contrário, é um subcaminho de $\tau \bullet \tau_i$, com i escolhido aleatoriamente entre $[1, K]$.

Algoritmo de Planejamento de Caminhos Probabilístico:

procedimento PCP

começar

$\tau \leftarrow \text{MELHORPR}(q_{\text{ini}}); \quad q_{\text{loc}} \leftarrow \text{ULT}(\tau);$

enquanto $q_{\text{loc}} \neq q_{\text{fin}}$, **faça**

começar

ESCAPE \leftarrow Falso;

Para $i = 1$ **a** K **até** ESCAPE, **faça**

começar

$t \leftarrow \text{RAND_T};$

$\tau_i \leftarrow \text{RAND}(q_{\text{loc}}, t);$

$q_{\text{rand}} \leftarrow \text{ULT}(\tau_i);$

$\tau_i \leftarrow \text{PROD}(\tau_i, \text{MELHORPR}(q_{\text{rand}}));$

$q'_{\text{loc}} \leftarrow \text{ULT}(\tau_i);$

se $U(q'_{\text{loc}}) < U(q_{\text{loc}})$, **então**

começar

ESCAPE \leftarrow Verdadeiro;

$\tau \leftarrow \text{PROD}(\tau, \tau_i);$

fim;

fim;

se $\neg \text{ESCAPE}$, **então**

começar

$\tau \leftarrow \text{VOLTA}(\tau, \tau_1, \dots, \tau_K);$

$q_{\text{trás}} \leftarrow \text{ULT}(\tau);$

$\tau \leftarrow \text{PROD}(\tau, \text{MELHORPR}(q_{\text{trás}}));$

fim;

$q_{\text{loc}} \leftarrow \text{ULT}(\tau);$

fim;

fim;

Obtenção de um Caminho Suave:

- O caminho obtido através de PCP deve ser suavizado antes da sua execução.
- Procedimento simples:
 - Iterativamente, substituir subcaminhos de τ de comprimentos decrescentes por segmentos de reta no espaço \mathbb{R}^m contendo a grade GR.
 - Discretizar cada novo segmento de acordo com a resolução de GR e checar colisão antes de inseri-lo no novo caminho.
- Inicialmente, o algoritmo tenta substituir subcaminhos cujos comprimentos são da ordem de grandeza do comprimento total do caminho. Então, subcaminhos cada vez menores são considerados até atingir a resolução da grade.

Observações:

- Resultados experimentais mostram que PCP é eficiente e confiável, isto deve-se a que o problema de planejamento tipicamente possui muitas soluções.
- ⇒ Um procedimento probabilístico de busca global pode achar uma delas, desde que bem informado na maior parte do tempo, o que é garantido pela função de potencial $U(q)$
- Ponto Fraco: tipicamente, PCP gera diferentes soluções, com diferentes tempos de computação, quando executado várias vezes para o mesmo problema.
- Problema: se o problema não tem solução, PCP não tem como saber, mesmo após longo tempo de computação. ⇒ Deve-se impor um tempo máximo limite.
- Para uma classe de problemas é fácil determinar experimentalmente um limite de tempo a partir do qual, se um caminho não foi achado, existe pouca chance de encontrar um.
- O PCP é dito Resolução-Completo Probabilisticamente: se existir um caminho livre em GR, a probabilidade de encontrá-lo tende para 1 quando o tempo de busca tende para infinito.

Planejamento baseado em Funções Harmônicas:

Princípio:

Criar uma função de potencial $U(q)$ no espaço livre C_L cujo Laplaciano seja nulo. No interior de C_L a função é livre de mínimos locais. Uma definição adequada do potencial no contorno de C_L permite estabelecer condições adequadas para navegação com base no negativo do gradiente de $U(q)$.

Equação de Laplace:

A equação de Laplace representa uma classe de equações diferenciais parciais elípticas da forma:

$$\nabla^2 U(q) = 0 \quad \forall q \in C_L$$

$U(q)$ é a função harmônica solução da equação de Laplace e C_L é a região em que $U(q)$ é definida.

O Laplaciano $\nabla^2 U(q)$ é definido como:

$$\nabla^2 U(q) = \sum \partial^2 U(q) / \partial q_i^2$$

Onde q_i são as componentes de q .

Propriedades das funções harmônicas:

- a) Superposição: se U_a e U_b são funções de Laplace, qualquer combinação linear delas também é função de Laplace.
- b) Valor Médio: se uma função de Laplace bidimensional definida em C_L , então, para qualquer círculo em C_L , a média dos potenciais nesse círculo é igual ao potencial no centro do mesmo. Isto tem consequência direta na ausência de mínimos locais.
- c) Princípio do Mínimo e do Máximo (Min-Max): uma vez que para qualquer potencial vale a propriedade do valor médio,

não é possível o surgimento de mínimos locais dentro dessas regiões, ficando os mesmos restritos ao contorno de C_L e a pontos críticos inseridos no seu interior.

Mínimos e Máximos em Funções Harmônicas:

- As regiões internas de $U(q)$ são livres de mínimos ou máximos.
- Mínimos ou máximos ficam restritos ao contorno de C_L e a pontos críticos inseridos no mesmo.
- Pontos críticos inseridos no interior de $U(q)$ podem ser de origem (source) – potencial repulsivo, ou destino (sink) – potencial atrativo.
- $U(q)$ corresponde a um potencial harmônico cujo gradiente leva o robô da origem ao destino.
- Como no resto do potencial não há máximos ou mínimos, seguindo o negativo do gradiente, o robô converge para o destino.

Condições de Contorno de Funções Harmônicas:

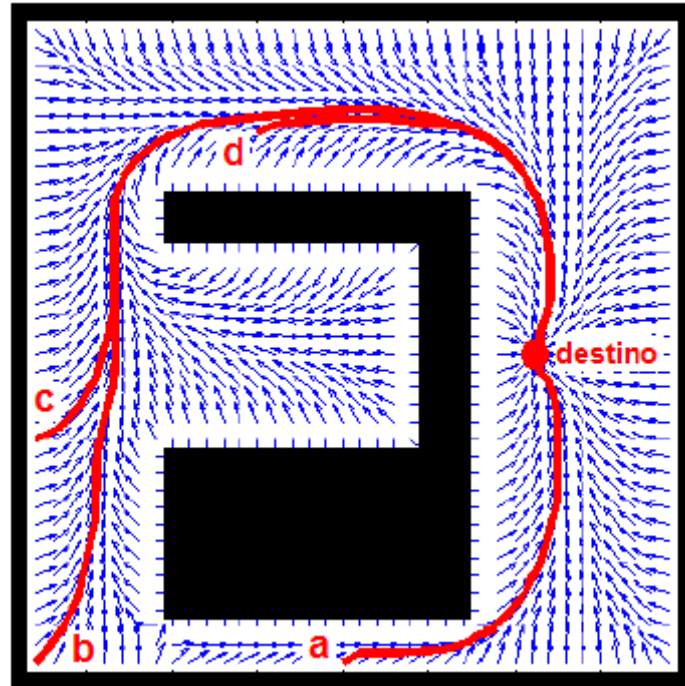
- As regiões de contorno, representadas pelos obstáculos, delimitam o espaço livre (espaço navegável).
- Estas regiões definem a forma do potencial no interior do espaço livre.
- Condições de contorno clássicas:
 - Condição de Dirichlet.
 - Condição de Neumann.

Condição de Contorno de Dirichlet

O potencial $U(q)$ na região de contorno ∂C_L na condição de contorno de Dirichlet é imposto como um valor constante K :

$$U(q) = K = \text{constante}, \quad \forall q \in \partial C_L$$

- Se um ponto crítico com potencial constante e menor que K é inserido no interior do potencial, $U(q)$ induzirá um gradiente entre o contorno e este ponto crítico que tenderá a seguir na direção normal à região de contorno ∂C_L .



Características:

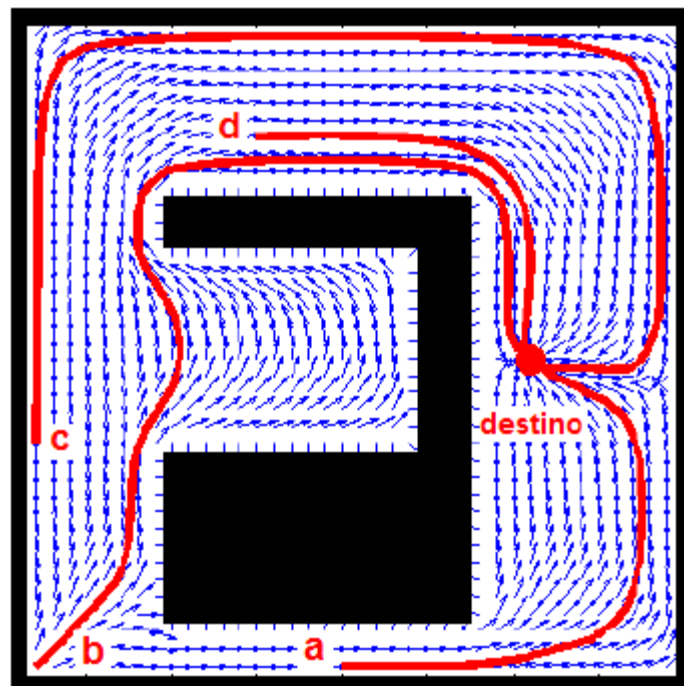
- Do ponto de vista de navegação, a condição de Dirichlet resulta em potenciais que tendem a direcionar o robô por caminhos afastados dos obstáculos.
- Os caminhos gerados são mais seguros.
- O potencial que satisfaz a condição de Dirichlet apresenta dificuldade na geração de caminhos por passagens estreitas.
- Não é necessário introduzir um ponto crítico no ponto de origem do movimento.
- O mapa de potencial pode ser reaproveitado para pontos de origens diferentes.

Condição de Contorno de Neumann

O potencial $U(q)$ na região de contorno ∂C_L na condição de contorno de Neumann é imposto de tal forma que o gradiente de $U(q)$ na direção normal a ∂C_L , \mathbf{n} , seja nulo:

$$\partial U(q)/\partial \mathbf{n} = 0, \quad \forall q \in \partial C_L$$

Uma vez que o gradiente possui componente normal nula na região de contorno ∂C_L , esta condição força a criação de um gradiente paralelo ao contorno ∂C_L .



Características:

- Do ponto de vista de navegação, a condição de Neumann resulta em potenciais que tendem a direcionar o robô por caminhos próximos ao contorno dos obstáculos, o que pode gerar caminhos mais longos.
- Os caminhos gerados são menos seguros.
- É necessário introduzir um ponto crítico no ponto de origem do movimento para forçar o surgimento do gradiente, pois sem o mesmo a equação de Laplace e a condição de

- contorno são satisfeitas apenas pela solução trivial (potencial de qualquer ponto igual ao potencial do destino).
- O mapa de potencial não pode ser reaproveitado quando o ponto de origem do movimento muda.

Obtenção dos Potenciais Harmônicos

O cálculo dos potenciais harmônicos envolve a solução da equação de Laplace no domínio em que $U(q)$ é definida. (espaço navegável), de modo a satisfazer as condições de contorno.

O planejamento baseado em funções harmônicas tem sido abordado tanto no domínio contínuo como no domínio discreto. No domínio contínuo, usando o princípio da superposição, o campo de potencial é modelado pela superposição de diferentes componentes do campo gerados por diferentes estruturas do ambiente. Assim, o ambiente é decomposto em estruturas primitivas menores, de forma a possibilitar a representação analítica de todo o espaço. Apesar de ser possível aplicar esta abordagem para casos particulares de ambientes simples, este processo é complexo e a complexidade tende a aumentar com o tamanho do mapa e com a densidade dos obstáculos. Por outro lado, a representação do ambiente no domínio discreto permite calcular o potencial através de métodos numéricos e técnicas iterativas de fácil implementação para diferentes tipos de ambientes, o que torna esta abordagem bastante utilizada em aplicações práticas do método.

Para um ambiente bidimensional, uma abordagem comum é discretizar o plano (x,y) em uma grade regular. A grade é obtida discretizando os eixos x e y em intervalos regulares Δx e Δy . Considerando intervalos de discretização iguais para os eixos x e y , $\Delta x = \Delta y = h$, a equação de Laplace pode ser discretizada expandindo a função de potencial $U(x,y)$ em série de Taylor, em torno do ponto (x,y) , desprezando as derivadas de ordem superior, de forma a obter aproximações discretas para as derivadas

segundas de $U(x,y)$ em relação a x e a y , respectivamente. Com base nesta metodologia, a equação de Laplace pode ser aproximada no domínio discreto por:

$$[U_{x,y-h} + U_{x,y+h} + U_{x-h,y} + U_{x+h,y} - 4U_{x,y}]/h^2 = 0$$

A aproximação discreta da equação de Laplace pode ser resolvida para o domínio em que $U(x,y)$ é definida e para as condições de contorno especificadas, usando um variado repertório de soluções algorítmicas, como por exemplo, o método recursivo de Gauss-Seidel.

Para robôs que se movimentam no plano e com orientação livre, onde a configuração é dada por $q = (x,y,\theta)$, o potencial pode ser discretizado da seguinte forma, (considerando $h = 1$, para simplificar):

$$U_{x,y,\theta} = [U_{x,y-1,\theta} + U_{x,y+1,\theta} + U_{x-1,y,\theta} + U_{x+1,y,\theta} + U_{x,y,\theta-1} + U_{x,y,\theta+1}]/6$$

Se este robô estiver sujeito a restrição não holonômica, onde só pode executar uma rotação e/ou uma translação no plano (x,y) na direção em que está orientado, então, denominando v o eixo que define esta orientação, o potencial pode ser discretizado da seguinte forma:

$$U_{x,y,\theta} = [U_{v-1,\theta} + U_{v+1,\theta} + U_{v,\theta-1} + U_{v,\theta+1}]/4$$

Cálculo direto dos Potenciais Harmônicos

Para o caso planar, $q=(x,y)$, a equação de Laplace discretizada, pode ser reescrita de modo a explicitar o potencial $U_{x,y}$ em função dos potenciais dos seus pontos vizinhos na grade. Considerando o incremento $h = 1$, para simplificar, temos:

$$U_{i,j} = [U_{i,j-1} + U_{i,j+1} + U_{i-1,j} + U_{i+1,j}]/4$$

Observa-se que o potencial no ponto (i,j) da grade é função do potencial dos seus vizinhos, cada um destes pode ser:

- a) Ponto da região navegável, cujo potencial deve ser calculado de forma semelhante ao potencial $U_{i,j}$.
- b) Ponto da região de contorno, onde o seu potencial U_C deve ser atribuído de acordo com a condição de contorno adotada.
- c) Ponto de destino, onde seu potencial U_D deve ser fixado em um valor fixo mínimo.

Desta maneira, o calculo dos potenciais da grade pode ser formulado da seguinte forma:

$$\mathbf{U} = \mathbf{A}.\mathbf{U} + \mathbf{U}_C + \mathbf{U}_D$$

Onde todos os potenciais dos pontos da região navegável são arranjados em um vetor coluna \mathbf{U} de dimensão n . \mathbf{U}_C também é um vetor coluna de dimensão n , onde, para a k -ésima linha, o elemento U_{Ck} assume o valor da soma dos potenciais dos pontos vizinhos ao ponto k que são pontos da região de contorno. \mathbf{U}_D também é um vetor coluna, cujos elementos são todos nulos, exceto o elemento que corresponde ao ponto de destino. Este elemento deve assumir o valor do potencial mínimo atribuído ao ponto de destino. A matriz \mathbf{A} é uma matriz $n \times n$, cuja diagonal é nula, uma vez que, de acordo com a formulação discreta adotada, o potencial $U_{i,j}$ depende apenas dos seus pontos vizinhos e não dele mesmo. Os coeficientes de cada linha da matriz \mathbf{A} devem ser estabelecidos de acordo com os potenciais livres que aparecem na formulação discreta $U_{i,j} = [U_{i,j-1} + U_{i,j+1} + U_{i-1,j} + U_{i+1,j}]/4$. Desta forma, os potenciais na grade podem ser obtidos diretamente resolvendo a expressão:

$$\mathbf{U} = \mathbf{A}.\mathbf{U} + \mathbf{U}_C + \mathbf{U}_D$$

$$\Rightarrow \mathbf{U} - \mathbf{A}.\mathbf{U} = \mathbf{U}_C + \mathbf{U}_D$$

$$\Rightarrow (\mathbf{I} - \mathbf{A})\mathbf{U} = \mathbf{U}_C + \mathbf{U}_D$$

$$\Rightarrow \mathbf{U} = (\mathbf{I} - \mathbf{A})^{-1}(\mathbf{U}_C + \mathbf{U}_D)$$